



Laboratorium EMVO Sp. J. Urbański, Pawelak
ul. Jasna 1
00-013 Warszawa

tel. +48 22 780 29 64
e-mail: laboratorium@emvo.pl



AB 1630

Sprawozdanie z pomiarów pól elektromagnetycznych - środowisko ogólne nr 104/04/OŚ/2021-P4-W



Nr i nazwa stacji	CIE4480	
Adres	Janowięta, dz. nr 63/1, pow. ciechanowski, woj. mazowieckie	
Opracowanie	Wiesław Laskowski	Specjalista ds. pomiarów
Autoryzacja	Andrzej Urbański	Kierownik Laboratorium
Podpis		
Data	2021-04-27	

Spis treści

1. Informacje ogólne.	3
2. Podstawa prawna.	3
3. Opis pomiarów.	3
4. Zróżnicowanie dopuszczalne poziomy pól elektromagnetycznych.	4
5. Charakterystyka źródeł PEM.	5
6. Wyniki pomiarów.	5
7. Stwierdzenie zgodności.	7
8. Oświadczenie.	7
9. Spis załączników.	7

1. Informacje ogólne.

Zleceniodawca	P4 Sp. z o.o., ul. Wynałazek 1, 02-677 Warszawa osoba udzielająca informacji – Monika Jankowska
Istotne informacje dostarczone przez klienta	komplet informacji niezbędnych do wykonania pomiarów i opracowania sprawozdania
Dane otrzymane od klienta mogące mieć wpływ na ważność wyników	dane anten sektorowych, dane anten radioliniowych, parametry pracy instalacji, poprawka pomiarowa
Prowadzący instalację	P4 sp. z o.o., ul. Wynałazek 1, 02-677 Warszawa
Lokalizacja obiektu	Janowięta, dz. nr 63/1, pow. ciechanowski, woj. mazowieckie
Miejsce instalacji anten	wieża kratowa
Miejsce instalacji urządzeń	outdoor
Osoby wykonujące pomiar	Łukasz Biczuk - pomiarowiec
Data wykonania pomiaru	2021-04-27
Temperatura na początku pomiaru [°C]	10
Temperatura na koniec pomiaru [°C]	10,5
Warunki atmosferyczne	brak opadów
Wilgotność na początku pomiaru [%]	52
Wilgotność na koniec pomiaru [%]	51,6
Inne źródła pól elektromagnetycznych	nie występują
Tryb pracy urządzeń	eksploatacyjny

2. Podstawa prawna.

2.1 Normy i rozporządzenia:

- Rozporządzeniem Ministra Klimatu z dnia 17 lutego 2020 r. w sprawie sposobów sprawdzania dotrzymania dopuszczalnych poziomów pól elektromagnetycznych w środowisku (Dz.U. 2020 poz. 258)
- Rozporządzenie Ministra Zdrowia z dnia 17 grudnia 2019 r. w sprawie dopuszczalnych poziomów pól elektromagnetycznych w środowisku (Dz.U. 2019 poz. 2448)
- Obwieszczenie Marszałka Sejmu Rzeczypospolitej Polskiej z dnia 19 lipca 2019 r. w sprawie ogłoszenia jednolitego tekstu ustawy - Prawo ochrony środowiska (Dz.U. 2019 poz. 1396).

3. Opis pomiarów

Metodologia pomiarowa	Pomiary w oparciu o Rozporządzeniem Ministra Klimatu z dnia 17 lutego 2020 r. w sprawie sposobów sprawdzania dotrzymania dopuszczalnych poziomów pól elektromagnetycznych w środowisku (Dz.U. 2020 poz. 258), Dokument PCA DAB-18 „Program akredytacji laboratoriów badawczych wykonujących pomiary pola elektromagnetycznego w środowisku” wyd. 1, Warszawa, 02.02.2017 r.
Cel badań	Określenie wartości natężenia pola elektrycznego w miejscach dostępnych dla ludności.

Opis zestawu pomiarowego	<p>Miernik Narda NBM 520, Sonda EF 9091, o zakresie pomiarowym 0,8 V/m 300V/m pracująca w paśmie 80 MHz – 90 GHz, świadectwo wydane przez Laboratorium Wzorców i Metrologii Pola Elektromagnetycznego, Instytut Telekomunikacji, Teleinformatyki i Akustyki Politechniki Wrocławskiej, numer świadectwa: LWIMP/W/092/19, świadectwo ważne do 12.03.2023 r.</p> <p>Miernik Narda NBM 520, Sonda EF 9091 pracująca w zakresie temperatury -10°C - +50°C oraz wilgotności 5% - 95%.</p> <p>Niepewność rozszerzona 34,2% przy poziomie ufności 95% z uwzględnieniem współczynnika rozszerzenia k=2.</p>
Wypożyczenie pomocnicze	<p>Termohigrometr Bestone, typ: GM1362-EN-00, nr identyfikacyjny 1222436, świadectwo wzorcowania z dn. 03.04.2017r. wydane przez Laboratorium Pomiarowe "MUTECH".</p> <p>Przymiar wstęgowy STABILA, nr seryjny 10721, świadectwo wzorcowania z dn. 19.06.2017r. wydane przez Zespół Laboratoriów wzorcujących Okręgowego Urzędu Miar w Gdańsku.</p> <p>GPS Garmin 64s okresowo sprawdzany w punktach osnowy geodezyjnej klasy 3 na podstawie licencji punktu, zgodnie z procedurą sprawdzeń okresowych IS/PO-16-11/03.</p>
Pomiary zostały wykonane	<ol style="list-style-type: none"> na głównych i pomocniczych kierunkach pomiarowych, na kierunkach zbliżonych do azymutów anten oraz w dodatkowych pionach pomiarowych zgodnie z wymaganiami pkt 12, 13, 14 i 19 załącznika do rozporządzenia Ministra Klimatu z dnia 17 lutego 2020 r. (Dz. U. 2020, poz. 258), na obszarze pomiarowym, dla którego, na podstawie uprzednio wykonanych obliczeń uzyskanych od zleceniodawcy, stwierdzono możliwość występowania pól elektromagnetycznych o poziomach zbliżonych do poziomów dopuszczalnych zgodnie z wymaganiami pkt 5 ppkt 2 oraz pkt 13 ppkt 1 załącznika do rozporządzenia Ministra Klimatu z dnia 17 lutego 2020 r. (Dz. U. 2020, poz. 258). Wyniki obliczeń nie uwzględniały parametrów pracy instalacji innych operatorów występujących na obiekcie bądź w obszarze pomiarowym. w miejscach dostępnych dla ludności. miejsca niedostępne podczas wykonywania pomiarów wskazane zostały w pkt 6 (tabeli wyniki pomiarów) wyniki pomiarów uzyskane zostały przy uwzględnieniu poprawek pomiarowych przekazanych przez zleceniodawcę oraz przy rzeczywistych warunkach pracy instalacji innych operatorów (w przypadku występowania). W takiej sytuacji uwzględniono jednolitą poprawkę pomiarową wynoszącą 1,47.
Szczególne warunki podczas wykonywania pomiarów	<p>Pomiary wykonane zostały podczas obowiązywania w kraju stanu epidemii, zgodnie z art. 122a ust. 1b Ustawy z dnia 27 kwietnia 2001 r. – Prawo ochrony środowiska (Dz. U. z 2019 r. poz. 1396, z późn. zm.9))</p>
Warunki pracy urządzeń nadawczych	<p>Podczas pomiarów zostały uwzględnione poprawki pomiarowe przekazane przez zleceniodawcę, umożliwiające uwzględnienie maksymalnych parametrów pracy instalacji zgodnie z pkt 7 załącznika do Rozporządzeniem Ministra Klimatu z dnia 17 lutego 2020 r. w sprawie sposobów sprawdzania dotrzymania dopuszczalnych poziomów pól elektromagnetycznych w środowisku (Dz. U. 2020, poz. 258).</p>

4. Zróżnicowanie dopuszczalne poziomy pól elektromagnetycznych.

Zakresy znajdują się w Dzienniku Ustaw z dnia 17 grudnia 2019 r. przedstawione są w tabeli nr 2 (Dz. U. z 2019 r. poz. 2448).

Zakres częstotliwości pola elektromagnetycznego	Parametr fizyczny		
	Składowa elektryczna E (V/m)	Składowa magnetyczna H (A/m)	Gęstość mocy S (W/m ²)
od 400 MHz do 2000 MHz	$1,375 \times f^{0,5}$	$0,0037 \times f^{0,5}$	f / 200
od 2 GHz do 300 GHz	61	0,16	10

„Bez pisemnej zgody Laboratorium niniejsze sprawozdanie nie może być powielane inaczej, jak tylko w całości. Ponadto wyniki dotyczą tylko badanych obiektów przywołanych w niniejszym sprawozdaniu z badań”

5. Charakterystyka źródeł PEM.

Zgodnie z informacją otrzymaną od klienta pomiary zostały wykonane przy ustawieniach pochylenia anten zgodnych z pkt. 13, ppkt 2 załącznika do rozporządzenia Ministra Klimatu z dnia 17 lutego 2020 roku.

Tabela 1. Anteny sektorowe - dane otrzymane od klienta

Charakterystyka promieniowania		kierunkowa								
Rzeczywisty czas pracy [h/dobę]		24								
Rodzaj wytwarzanego pola		stacjonarne								
Lp.	Wyszczególnienie	sektor 1			sektor 2			sektor 3		
I	Nadajnik stacji bazowej:									
1	Typ / Producent	DBS / Huawei								
2	Częstotliwość (pasmo) MHz	900	800	800	900	800	800	900	800	800
3	Maksymalna moc nadawana na sektor [dBm]	43,01	40	40	43,01	40	40	43,01	40	40
II	Obciążenie:									
1	Typ anteny	Huawei A704517R0	Huawei ADU4518R8	Huawei ADU4518R8	Huawei A704517R0	Huawei ADU4518R8	Huawei ADU4518R8	Huawei A704517R0	Huawei ADU4518R8	Huawei ADU4518R8
2	Producent anteny	Huawei	Huawei	Huawei	Huawei	Huawei	Huawei	Huawei	Huawei	Huawei
3	Ilość anten	1	1	1	1	1	1	1	1	1
4	Azymut	10			120			230		
5	Zakres kątów pochylenia anten [°]	0,00-10,00			0,00-10,00			0,00-10,00		
6	Wysokość zainstalowania n.p.t. [m] (środek elektryczny anteny)	59,00			59,00			59,00		
7	EIRP [W]	1022	469	469	1022	469	469	1022	469	469

Tabela 2. Anteny radioliniowe - dane otrzymane od klienta

Charakterystyka promieniowania		kierunkowa								
Rzeczywisty czas pracy [h/dobę]		24								
Rodzaj wytwarzanego pola		stacjonarne								
Lp.	Linia radiowa			Antena				wysokość zainstalowania n.p.t. [m] (środek elektryczny anteny)	WM _E	WM _H
	typ/producent	częstotliwość pracy [GHz]	moc wyjściowa [dBm]	typ/producent	średnica anteny [m]	azymut [°]				
1	OPTIX RTN/HUAWEI	23	21	A23D06/Huawei	0,6	306	57,00			

6. Wyniki pomiarów.

Wyniki pomiarów pól elektromagnetycznych dla celów ochrony środowiska przedstawia poniższa tabela. Piony pomiarowe zostały przedstawione w zał. 2.

Nr PP	Pole-E [V/m]	Pole-E *k _E +U [V/m]	Pole-H [A/m]	Pole-H *k _E +U [A/m]	Wysokość pomiaru [m]	Współrzędne PP x, y	Opis PP	WM _E	WM _H
1	< 0,8	< 1,58	< 0,002	< 0,004	0,3 - 2,0	52°56'48,6"N 20°43'03,1"E	otoczenie stacji bazowej - 100 m wzdłuż gł. osi promieniowania - GKP	< 0,041	< 0,040
2	< 0,8	< 1,58	< 0,002	< 0,004	0,3 - 2,0	52°56'51,8"N 20°43'04,2"E	otoczenie stacji bazowej - 200 m wzdłuż gł. osi promieniowania - GKP	< 0,041	< 0,040
3	< 0,8	< 1,58	< 0,002	< 0,004	0,3 - 2,0	52°56'54,9"N 20°43'05,2"E	otoczenie stacji bazowej - 300 m wzdłuż gł. osi promieniowania - GKP	< 0,041	< 0,040

„Bez pisemnej zgody Laboratorium niniejsze sprawozdanie nie może być powielane inaczej, jak tylko w całości. Ponadto wyniki dotyczą tylko badanych obiektów przywołanych w niniejszym sprawozdaniu z badań”

Nr PP	Pole-E [V/m]	Pole-E *k _E +U [V/m]	Pole-H [A/m]	Pole-H *k _E +U [A/m]	Wysokość pomiaru [m]	Współrzędne PP x , y	Opis PP	WM _E	WM _H
4	< 0,8	< 1,58	< 0,002	< 0,004	0,3 - 2,0	52°56'58,1"N 20°43'06,3"E	otoczenie stacji bazowej - 400 m wzdłuż gł. osi promieniowania - GKP	< 0,041	< 0,040
5	< 0,8	< 1,58	< 0,002	< 0,004	0,3 - 2,0	52°57'01,3"N 20°43'07,4"E	otoczenie stacji bazowej - 500 m wzdłuż gł. osi promieniowania - GKP	< 0,041	< 0,040
6	< 0,8	< 1,58	< 0,002	< 0,004	0,3 - 2,0	52°57'04,5"N 20°43'08,4"E	otoczenie stacji bazowej - 600 m wzdłuż gł. osi promieniowania - GKP	< 0,041	< 0,040
7	< 0,8	< 1,58	< 0,002	< 0,004	0,3 - 2,0	52°56'43,7"N 20°43'06,4"E	otoczenie stacji bazowej - 100 m wzdłuż gł. osi promieniowania - GKP	< 0,041	< 0,040
8	< 0,8	< 1,58	< 0,002	< 0,004	0,3 - 2,0	52°56'42,0"N 20°43'10,9"E	otoczenie stacji bazowej - 200 m wzdłuż gł. osi promieniowania - GKP	< 0,041	< 0,040
9	< 0,8	< 1,58	< 0,002	< 0,004	0,3 - 2,0	52°56'40,2"N 20°43'15,5"E	otoczenie stacji bazowej - 300 m wzdłuż gł. osi promieniowania - GKP	< 0,041	< 0,040
10	< 0,8	< 1,58	< 0,002	< 0,004	0,3 - 2,0	52°56'38,5"N 20°43'20,0"E	otoczenie stacji bazowej - 400 m wzdłuż gł. osi promieniowania - GKP	< 0,041	< 0,040
11	< 0,8	< 1,58	< 0,002	< 0,004	0,3 - 2,0	52°56'36,8"N 20°43'24,5"E	otoczenie stacji bazowej - 500 m wzdłuż gł. osi promieniowania - GKP	< 0,041	< 0,040
12	< 0,8	< 1,58	< 0,002	< 0,004	0,3 - 2,0	52°56'35,0"N 20°43'29,1"E	otoczenie stacji bazowej - 600 m wzdłuż gł. osi promieniowania - GKP	< 0,041	< 0,040
13	< 0,8	< 1,58	< 0,002	< 0,004	0,3 - 2,0	52°56'43,4"N 20°42'57,9"E	otoczenie stacji bazowej - 100 m wzdłuż gł. osi promieniowania - GKP	< 0,041	< 0,040
14	< 0,8	< 1,58	< 0,002	< 0,004	0,3 - 2,0	52°56'41,4"N 20°42'53,7"E	otoczenie stacji bazowej - 200 m wzdłuż gł. osi promieniowania - GKP	< 0,041	< 0,040
15	< 0,8	< 1,58	< 0,002	< 0,004	0,3 - 2,0	52°56'39,3"N 20°42'49,5"E	otoczenie stacji bazowej - 300 m wzdłuż gł. osi promieniowania - GKP	< 0,041	< 0,040
16	< 0,8	< 1,58	< 0,002	< 0,004	0,3 - 2,0	52°56'37,2"N 20°42'45,4"E	otoczenie stacji bazowej - 400 m wzdłuż gł. osi promieniowania - GKP	< 0,041	< 0,040
17	< 0,8	< 1,58	< 0,002	< 0,004	0,3 - 2,0	52°56'35,2"N 20°42'41,2"E	otoczenie stacji bazowej - 500 m wzdłuż gł. osi promieniowania - GKP	< 0,041	< 0,040
18	< 0,8	< 1,58	< 0,002	< 0,004	0,3 - 2,0	52°56'33,1"N 20°42'37,1"E	otoczenie stacji bazowej - 600 m wzdłuż gł. osi promieniowania - GKP	< 0,041	< 0,040
19	< 0,8	< 1,58	< 0,002	< 0,004	0,3 - 2,0	52°56'46,7"N 20°42'58,8"E	otoczenie stacji bazowej - 70 m wzdłuż gł. osi promieniowania - GKP	< 0,041	< 0,040
20	< 0,8	< 1,58	< 0,002	< 0,004	0,3 - 2,0	52°56'48,2"N 20°42'55,2"E	otoczenie stacji bazowej - 150 m wzdłuż gł. osi promieniowania - GKP	< 0,041	< 0,040
21	< 0,8	< 1,58	< 0,002	< 0,004	0,3 - 2,0	52°56'47,4"N 20°43'07,2"E	otoczenie stacji bazowej - PKP	< 0,041	< 0,040
22	< 0,8	< 1,58	< 0,002	< 0,004	0,3 - 2,0	52°56'48,6"N 20°43'11,7"E	otoczenie stacji bazowej - PKP	< 0,041	< 0,040
23	< 0,8	< 1,58	< 0,002	< 0,004	0,3 - 2,0	52°56'37,9"N 20°43'03,4"E	otoczenie stacji bazowej - PKP	< 0,041	< 0,040
A	< 0,8	< 1,58	< 0,002	< 0,004	0,3 - 2,0	52°56'49,4"N 20°43'00,1"E	Janowięta 15, pomiar przed wejściem - DPP	< 0,041	< 0,040
B	< 0,8	< 1,58	< 0,002	< 0,004	0,3 - 2,0	52°56'40,9"N 20°43'02,8"E	Janowięta 17, pomiar przed wejściem - DPP	< 0,041	< 0,040
C	< 0,8	< 1,58	< 0,002	< 0,004	0,3 - 2,0	52°56'40,1"N 20°43'01,8"E	Janowięta 17a, pomiar przed wejściem - DPP	< 0,041	< 0,040

Wynik pomiaru pole - E [V/m] - maksymalna wartość chwilowa zmierzona w danych pionie pomiarowym.

Przyjęto najniższą dopuszczalną wartość składowej elektrycznej pola dla objętego pomiarami zakresu częstotliwości min(MEgr)= 38,8 V/m oraz składowej magnetycznej min(MHgr)= 0,105 A/m.

* - poniżej czułości zestawu pomiarowego

GKP - główne kierunki pomiarowe

PKP - pomocnicze kierunki pomiarowe

DPP - dodatkowe punkty pomiarowe

PP - pion pomiarowy

U - niepewność rozszerzona wynosi 34,2% przy poziomie ufności 95% z uwzględnieniem współczynnika rozszerzenia k=2.

k_E - poprawka pomiarowa badanej instalacji radiokomunikacyjnej podana przez operatora (k_E=1,47),

poprawka pomiarowa w przypadku oddziaływania innych instalacji radiokomunikacyjnych na badany obszar (k_E=2,0)

„Bez pisemnej zgody Laboratorium niniejsze sprawozdanie nie może być powielane inaczej, jak tylko w całości. Ponadto wyniki dotyczą tylko badanych obiektów przywołanych w niniejszym sprawozdaniu z badań”

WM_E - wartość wskaźnikowa poziomu emisji pól elektromagnetycznych dla miejsc dostępnych dla ludności dla składowej elektrycznej pola

WM_H - wartość wskaźnikowa poziomu emisji pól elektromagnetycznych dla miejsc dostępnych dla ludności dla składowej magnetycznej pola

7. Stwierdzenie zgodności

Na podstawie wytycznych podanych w Rozporządzeniu Ministra Zdrowia z dnia 17 grudnia 2019 r. w sprawie dopuszczalnych poziomów pól elektromagnetycznych w środowisku (Dz.U. 2019 poz. 2448) oraz sposobów sprawdzania dotrzymania tych poziomów zgodnie z Rozporządzeniem Ministra Klimatu z dnia 17 lutego 2020 r. w sprawie sposobów sprawdzania dotrzymania dopuszczalnych poziomów pól elektromagnetycznych w środowisku (Dz.U. 2020 poz. 258) dotyczących źródła wymagań, które muszą być spełnione (załącznik do rozporządzenia Ministra Klimatu z dnia 17 lutego 2020 r. (poz. 258)), w oparciu o zasadę podejmowania decyzji zgodną z pkt 26 załącznika do rozporządzenia Ministra Klimatu z dnia 17 lutego 2020 r. (poz. 258), na podstawie wyników pomiarów pól elektromagnetycznych wykonanych w dniu 27.04.2021 stwierdzono, iż w miejscach dostępnych dla ludności, dopuszczalne poziomy pól elektromagnetycznych w środowisku, określone w przepisach wydanych na podstawie art. 122 ust. 1 ustawy z dnia 27 kwietnia 2001 r. – Prawo ochrony środowiska, uznaje się za dotrzymane w obszarze pomiarowym, w którym w wyniku zastosowania sposobu sprawdzenia dotrzymania dopuszczalnych poziomów pól elektromagnetycznych w środowisku, udokumentowano, że żadna z wartości wskaźnikowych nie przekracza wartości 1.

8. Oświadczenie.

Wyniki badania odnoszą się wyłącznie do badanego obiektu.

Bez pisemnej zgody sprawozdanie nie może być powielane inaczej, jak tylko w całości.

Uwagi i zastrzeżenia przyjmowane są w formie pisemnej w ciągu 14 dni od daty otrzymania sprawozdania.

9. Spis załączników.

Załącznik 1. Lokalizacja obiektu.

Załącznik 2. Widok pionów pomiarowych

Załącznik 3. Widok stacji bazowej

Koniec sprawozdania

Załącznik 1. Lokalizacja obiektu



Współrzędne geograficzne

długość: 20°43'02.02"E

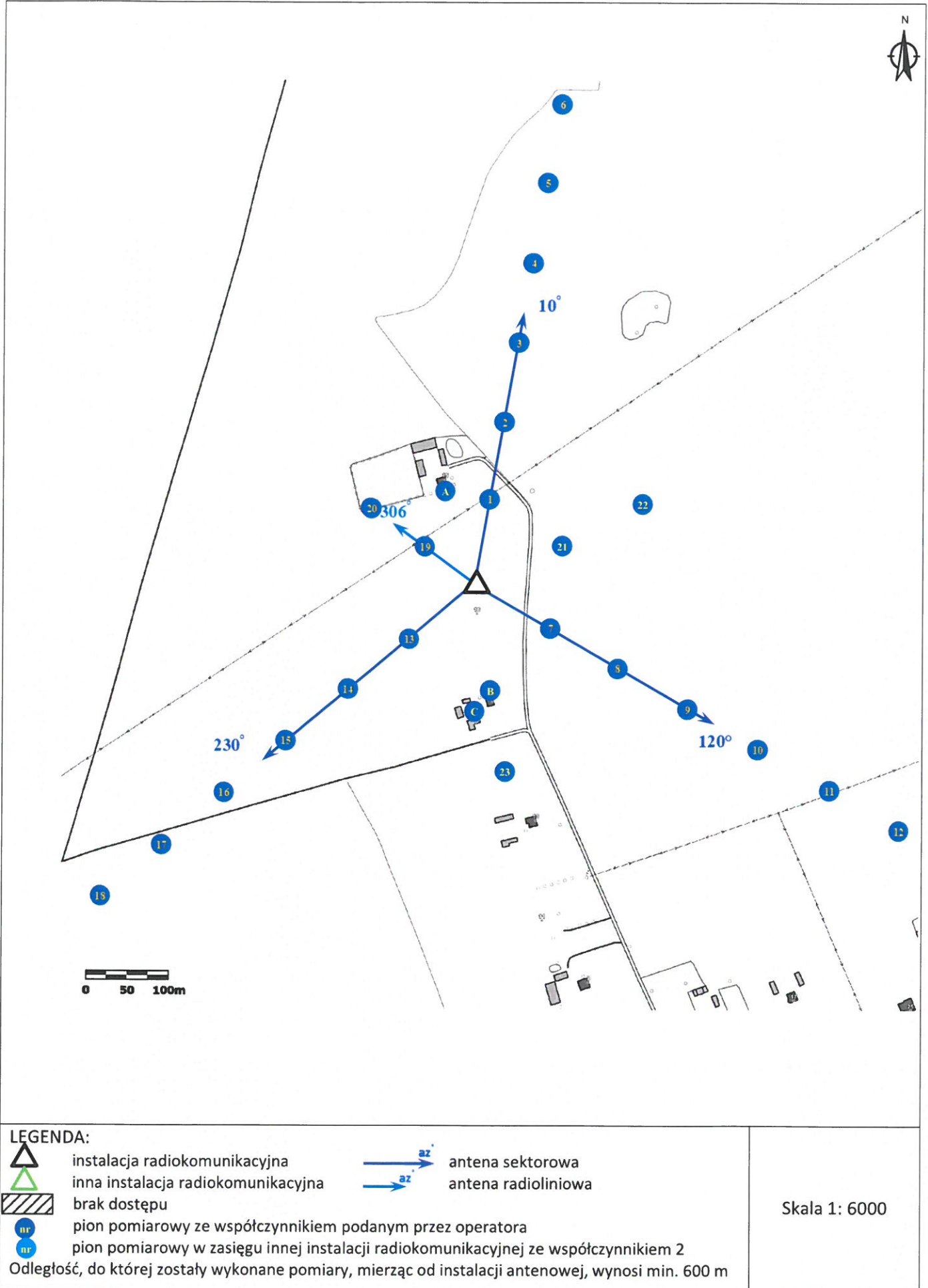
szerokość: 52°56'45.42"N

„Bez pisemnej zgody Laboratorium niniejsze sprawozdanie nie może być powielane inaczej, jak tylko w całości. Ponadto wyniki dotyczą tylko badanych obiektów przywołanych w niniejszym sprawozdaniu z badań”

104/04/OŚ/2021-P4-W

Strona 7 z 9

Załącznik 2. Widok pionów pomiarowych



„Bez pisemnej zgody Laboratorium niniejsze sprawozdanie nie może być powielane inaczej, jak tylko w całości. Ponadto wyniki dotyczą tylko badanych obiektów przywołanych w niniejszym sprawozdaniu z badań”

Załącznik 3. Załączniki graficzne

